

名古屋大学 0111 本 肇 万

名古屋市 原 隆 男

奥村組 奥 菩 清

## 1. はじめに

市街地におけるトンネル掘削の際には、それに伴つてふじら地表面の沈下現象や地盤振動が地上の各種構造物にどのような影響を与えるかが常に問題になる。ここでは、名古屋市地下鉄2号線の市役所へ大曾根間の曲線シールド+トンネル工事において行なわれた地盤変形係数の測定、地表沈下およびセグメントリングの変形の測定、シールド推進に伴う地盤の振動測定などの結果を報告し、さらに有限要素解析より降下床の実験式による地表沈下の計算値と実測値との比較検討した。

## 2. 地形、地質および地盤変形試験

シールド工事区间は図-1に示すとおり、黒川築造壁坑から田舎中間壁坑までの(1)12.22%の下り勾配であり、それより名城到達壁坑までの12.7%の上り勾配で、(2)(b)の土被りは12~17mである。(1)番縦は $R=400m$ ,  $l=462.4m$ , (2)番縦は $R=380m$ ,  $l=425.4m$ で、トンネル断面は直徑6.400の円形である。シールド区间の地質は地表より沖積層、その下部に発達する洪積層よりなる。沖積層は粘性土と砂よりなり、洪積層は上部の大曾根層(砂層と砂砾層)と下部の熱田層(粘性土等)に分けられる。路線に沿う地質の調査のために標準貫入試験が行なわれ、各地層の $N$ 値が求められた。一方、地表沈下解析に必要な地盤の変形係数を求めるために、田舎中間壁坑を利用して各地層ごとに平板載荷試験を行なった。試験より求められた変形係数の値と、 $N$ 値から $E_s = f(N)$ 関係<sup>1)</sup>を用いて求めた値とすると、表-1のようである。これらはかなりよく一致することわかる。したがって、以後の沈下解析では解析断面に近い測定された $N$ 値から求められた変形係数が用いられた。

## 3. 地表沈下の実測

地表における沈下測定位置を図-1に示す。トンネル中央縦に沿う最終沈下量の実測値と地盤の継続面図とともに示すと図-2のようである。 $a$ ,  $b$ ,  $c$ は各1m個所を除いて平均40mmの値を示しているが、 $a$ 部は壁坑の剛性と薬液注入により、 $c$ 部は薬液注入により沈下量は少ないが、 $b$ 部では粘土層・薄い地盤のために大きい沈下量を示している。シールド前进による地表沈下の進行状態と、それそれの最終沈下量に対する割合を示すと、図-3のようである。これによると切羽後方6Dの点(切羽通過後約2週間)で95%程度の沈下が終了となることがわかる。

## 4. セグメントリングの変形

図-4にセグメントリング天端の沈下状況を示す。これによると、リング天端の沈下はセグメント組立時からほぼ2週間で終了しているようであり、地表面沈下の特性とよく一致している。最終的にはセグメントリングの沈下量はトンネル全体にわたって平均しており、天端 $\pm 8cm$ 前後、下端 $\pm 8cm$ である。リング全体としては上下方向に7cm程度の直徑変化を生じている。

## 5. 地表沈下およびトンネル断面変形の有限要素解析

図-1に示されていける角断面A, B, C: 271<sup>2</sup>地盤各層の変形係数と用いた有限要素法による弾性解析を行なつた。A断面における地表沈下およびトンネルの変形状況を示すと図-5, 図-6のようである。図にはトンネル周辺に3mの幅で薬液注入した場合(二の範囲Z<sup>2</sup>はもとの土質の2.5倍の変形係数を与えている)の結果も示されている。この図からもわかるように横断面における沈下の実測値(弹性解析値)に比較してトンネル直上が大きく、直上からはずれると漸減して比較的すくやかに減少している。それに比べて解析値は大きな影響域にわたってゆるやかに沈下が続く。したがって、実測値の傾向から地盤ではトンネル周辺における塑性領域あることを印すみ領域の発生によって、トンネルの上部に変形の大さい部分が生じ、その影響域内に沈下が集中するものと考えられる。これららの図からトンネル周辺部の薬液注入が沈下量やトンネルの変形量に及ぼす効果の程度が知られる。

次に、地盤材料の応力-ひずみ関係の非線形性を考慮した解析結果を示す。実際の地盤は砂層、礫層、粘土層などからなるが、砂層以外の強度特性と応力-ひずみ関係が明らかにされていないため、一方、地盤全体が砂層と同一の材料からなるものとし、A断面に対する解析した。解析には粘着力c = 0.25 kg/cm<sup>2</sup>、内部摩擦角φ = 33°を用い、応力-ひずみ関係( $\sigma - \epsilon$ ) ~ E<sub>1</sub>とDuncan<sup>2)</sup>の方法による抛物線近似式を表示して用いた。ここではトンネル全断面を同時に強制されたものとし、それによつて解放される初期応力に相当する節点外力を10段階に分け、除々に応力解放を行ない、その後段階において荷重漸増法を適用することにより、材料の非線形性を導入していく。地表沈下の解析結果を図-7に示す。図には同時に弹性解析値、後述の降下床の実験式による流動領域中の沈下量ならびにA断面における実測値を示している。この図より材料の非線形性を考慮に入れて荷重漸増法による解析を行なうことにより、かなり実測値に近い地表沈下量を求めることができた。

## 6. 粒状地盤の局部沈下現象とそのゆるみ沈下量

図-5における実測値と弹性解との差異はトンネル周削によつて生じるトンネル上部地山のゆるみに原因していると考え、セーリントリンガ天端の変形量に着目し、均質な粒状土地盤の局部沈下現象に関する降下床の実験式<sup>3)</sup>を用いて沈下影響範囲とトンネル直上での沈下量を算定した。この式は水平な固定床の一部が降下するもののみならず、シールドトンネルの場合はより広い角断面における周辺地盤がゆるみ出す状態に対する二の実験式を適用する場合には、降下床幅にあたる落土幅と降下量にあたる落土高さを算定することから問題になる。これに対して図-8に示すようにまず2.3. 断面にあたる各地層の内部摩擦角φ<sub>i</sub>、2.2に測定されたN値を用ひ、Terzaghi-PeckによるN-ひずみ関係より算出したが、平均的な値としてφ = 40°をとり計算を進めた。その結果、流動領域(沈下影響範囲)の幅bと沈下量P<sub>s</sub>を示すと、表-2のようになり、それらは図-5に示す通りである。このようにして計算されたトンネル天端のゆるみによつておこる地表面の沈下影響範囲は、実測で得られた沈下形状から見てやや影響範囲よりかなり小さいことがわかる。

## 7. シールド推進時の振動測定

図-1に示されていける測定位置でシールド機械上と地表面において振動特性を測定した。シールド機械直上の地表面に3成分(鉛直動V、シールド推進方向水平動L、それに直角方向の水平動H)の

振動計を設置し、さらに 1 号機に対するシールド後方 20m と前方 20m の地点でシールド推進方向の水平成分振動計を設置して地盤振動を記録した。1号機に対する振動記録の 1 則と示すと図-1 のようであり、それ測定結果をまとめ表-2 に示す。シールド機械に生じた振動を全体的に見ると、図-10 に示すように A, A', B の 3 種の振動特性が序々られる。A タイプの振動はシールドが止動するときに 1 比較的円滑に推進された場合にみられ、振動も周期的 (周期 0.04 ~ 0.05 秒) である。A' タイプの振動はシールドが止動からも連続的に進む場合のみ、C、ハル入庫約 0.05 秒、約 0.01 秒で周期的に前進する場合にみられる。B タイプの振動はシールド機械の前進が一度完全にとどめ後、地山との摩擦がされた時点で消り出すようにして動く場合にみられ、その消え時間は A' タイプと同じようにあって、ハル入り角は約 0.05 秒、シールドの停止時間は 0.2 ~ 0.6 秒である。

地表面における振動計は当然、シールド機械の振動より大きいことがわかる。2、速度振幅比は次のようである。

$$A \text{ タイプ振動: } 1/6, \quad A' \text{ タイプ振動: } 1/6, \quad B \text{ タイプ振動: } 1/8 \sim 1/10$$

この振動測定結果から、いわゆる振動公害について考えると、愛知県公害防止条例に基づく振動基準値（住宅地域における全周 0.6 m/sec、夜間 0.3 m/sec）に対して、1号機の方では全然問題はないが、2号機については夜間にいわゆる予オーバーするようである。

表-1 トネル直上の地表面沈下量

種別	A	B	C
上部ル中心深さ	17.0 m	19.2 m	16.5 m
実測値	48 mm	45 mm	46 mm
弾性沈下量	28 "	27 "	19 "
ゆるみ沈下量	24 "	21 "	25 "
(弾性) + (ゆるみ)	52 "	48 "	44 "
弾性沈下量(率注)	18 "	24 "	11 "

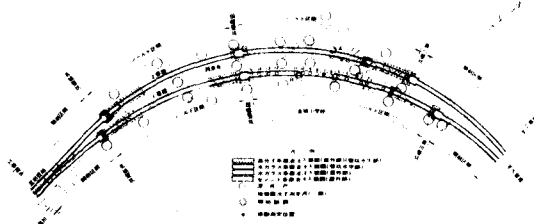


図-1

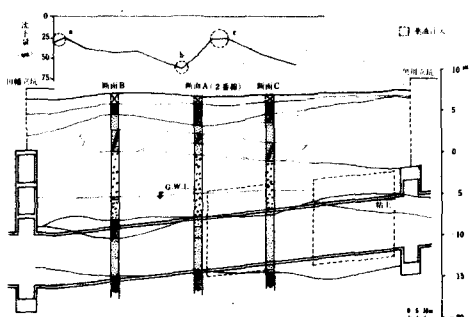


図-2

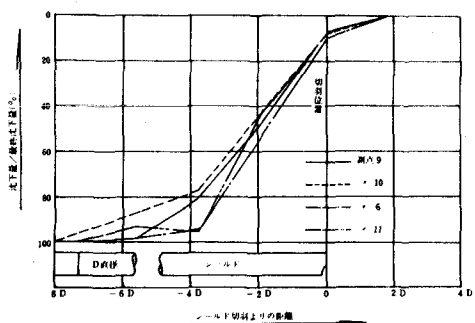


図-3

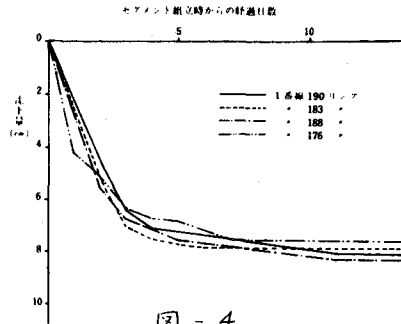


図 - 4

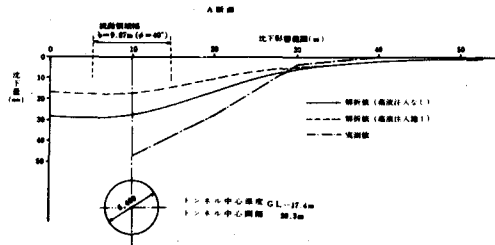


図 - 5

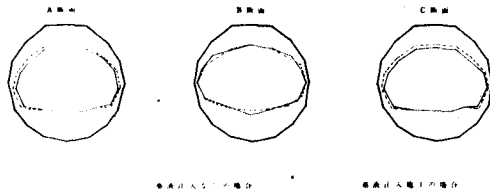


図 - 6

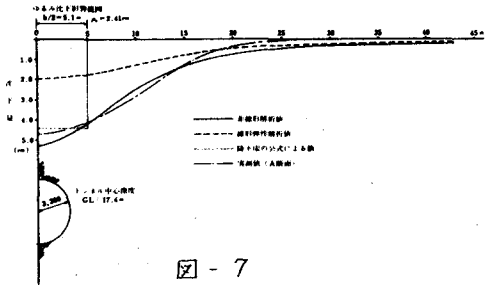


図 - 7

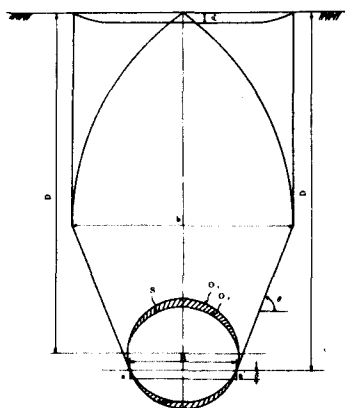
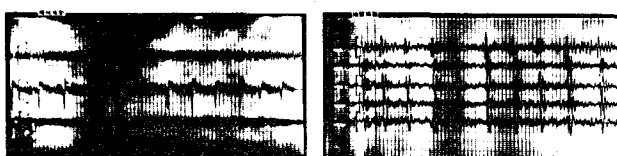


図 - 8

表 - 2 振動測定結果 (mm/sec)

機械振動ノイズ*	1号機		2号機	
	タイプ A	タイプ B	タイプ A	タイプ B
鉛直 V	0.59	0.25	1.11	0.78
水平 T	0.32	0.16	1.78	1.34
水平 L	0.64	1.05	3.18	3.64
機械振動ノイズ*	V=0.05, T=0.04, L=0.04		V=0.15, T=0.14, L=0.06	
地盤				
シールド前方20m L	0.14	0.09	0.18	0.14
シールド前方20m T	0.06	0.05	0.34	0.27
シールド前方20m V	0.10	0.11	0.55	0.39
地盤雜微動力	V,T,L	0.02	V,T,L	0.04



(a)

図 - 9

(b)

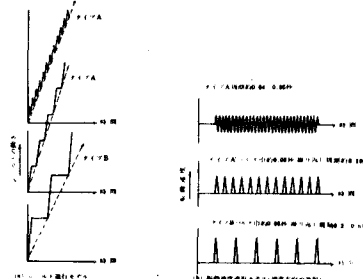


図 - 10

## 参考文献

- 1) 土質工学会編：工質調査試験結果の解説と適用例，土質工学会(昭4), 1) p.50.
- 2) J.M.Duncan, C.Y.Chang: Proc. A.S.C.E., SM 5, (1970) pp.1629 ~ 1653.
- 3) 村山朔郎, 松岡元: 土木学会論文報告集, 172 (1969) pp.31 ~ 41.